

# อุณหภูมิน้ำเย็นจ่าย

## และแตกต่างที่เหมาะสมสำหรับระบบปรับอากาศ

Optimum Chilled Water Supply Temperature and Temperature Difference for Air Conditioning System

ศิษฐ์กันดา<sup>1</sup> และตุลย์ มณีวัฒนา<sup>2</sup>

<sup>1</sup> นิสิตปริญญาโทภาควิชาวิศวกรรมเครื่องกล คณะวิศวกรรมศาสตร์ จุฬาลงกรณ์มหาวิทยาลัย  
<sup>2</sup> อาจารย์ประจำภาควิชาวิศวกรรมเครื่องกล คณะวิศวกรรมศาสตร์ มหาวิทยาลัย Narathiwat พิษณุโลก

<sup>2</sup> ห้องปฏิบัติการเทคโนโลยีอาคารและสิ่งแวดล้อม ภาควิชาวิศวกรรมเครื่องกล คณะวิศวกรรมศาสตร์  
จุฬาลงกรณ์มหาวิทยาลัย ถ.พญาไท ปทุมวัน กรุงเทพฯ 10330

โทร 0 - 2218 - 6610-1 โทรสาร 0 - 2218 - 6620 E-mail : Sitphank@yahoo.com<sup>1</sup>, fmetmn@eng.chula.ac.th<sup>2</sup>

Sitphan Kanla<sup>1</sup> and Tul Maneewattana<sup>2</sup>

<sup>1</sup> Graduate in Student Mechanical Engineering Department, Faculty of Engineering, Chulalongkorn University

<sup>1</sup>Lecturer in Mechanical Engineering Department, Faculty of Engineering, Naresuan University, Phitsanuloke.

<sup>2</sup> Building Technology and Environment Laboratory, Mechanical Engineering Department, Faculty of Engineering  
Chulalongkorn University Phyathai Rd, Patumwan, Bangkok 10330

Tel : 0 - 2218 - 6610-1 Fax : 0 - 218 - 6620 E-mail : Sitphank@yahoo.com<sup>1</sup>, fmetmn@eng.chula.ac.th<sup>2</sup>

### บทคัดย่อ

การออกแบบระบบบางจรด้านน้ำเย็นสำหรับระบบปรับอากาศแบบท่าความเย็นจากส่วนกลาง วิศวกรส่วนใหญ่นิยมออกแบบให้อุณหภูมิน้ำเย็นจ่าย (Chilled Water Supply Temperature : CWST) มีค่าเท่ากับ  $45^{\circ}\text{F}$  ( $7.22^{\circ}\text{C}$ ) และอุณหภูมิแตกต่าง (Temperature Difference : TD) มีค่าเท่ากับ  $10^{\circ}\text{F}$  ( $5.56^{\circ}\text{C}$ ) แต่หากเปลี่ยนแปลงค่าการออกแบบนี้ให้สูงขึ้นหรือลดต่ำลงก็จะส่งผลกระทบต่อค่าใช้จ่ายตลอดอายุการใช้งานของระบบ (Life Cycle Cost : LCC) งานวิจัยนี้เป็นการศึกษาเพื่อหาค่าที่เหมาะสมของตัวแปรทั้งสองที่ส่งผลทำให้ค่า LCC มีค่าต่ำที่สุด แบบจำลองระบบบางจรด้านน้ำเย็นที่ใช้ศึกษานี้เป็นชนิดที่อกลั้นตรง ประกอบด้วยเครื่องทำน้ำเย็นแบบหอยโข่งชนิดรายรับ ความร้อนด้วยน้ำ ขนาด 450 ตัน จำนวน 4 เครื่อง เครื่องสูบน้ำเย็นแบบหอยโข่ง จำนวน 4 เครื่อง เครื่องส่งลมเย็นขนาด 66 ตัน และขนาด 80 ตัน จำนวน 20 และ 6 เครื่อง ตามลำดับ ผลจากการศึกษาพบว่า ค่าที่เหมาะสมของ CWST และ TD ที่ทำให้ LCC มีค่าต่ำที่สุดสำหรับแบบจำลองดังกล่าว คือ  $46^{\circ}\text{F}$  ( $7.78^{\circ}\text{C}$ ) และ  $16^{\circ}\text{F}$  ( $8.89^{\circ}\text{C}$ ) ตามลำดับ การศึกษาถึงผลของการเปลี่ยนแปลงของค่า CWST และ TD ต่อแนวโน้มโดยทั่วไปของ LCC พบว่าค่าการออกแบบสำหรับ CWST และ TD ควรอยู่ในช่วงระหว่าง  $45 - 47^{\circ}\text{F}$  ( $7.22 - 8.33^{\circ}\text{C}$ ) และ  $10 - 16^{\circ}\text{F}$  ( $5.56 - 8.89^{\circ}\text{C}$ ) ตามลำดับ

### Abstract

In the design of chilled water supply system for central air conditioning system, most engineers usually design the chilled water supply temperature (CWST) at  $45^{\circ}\text{F}$  ( $7.22^{\circ}\text{C}$ ) and temperature difference (TD) at  $10^{\circ}\text{F}$  ( $5.56^{\circ}\text{C}$ ). Alteration of these design values have an impact on the life cycle cost of the system (LCC). The objective of this research is to find the optimum values of these variables to achieve a minimum value of LCC. In this study, a model of direct return chilled water supply system was used in the simulation. It consists of 4 units of 450 tons water-cooled centrifugal liquid chillers, 4 units of centrifugal chilled water pumps, 20 and 6 units of 66 Ton and 80 Ton air handling units respectively. Results of the study show that the optimum value of CWST and TD that give the minimum LCC is  $46^{\circ}\text{F}$  ( $7.78^{\circ}\text{C}$ ) and  $16^{\circ}\text{F}$  ( $8.89^{\circ}\text{C}$ ), respectively. The effect of changing CWST and TD on LCC in general was also studied, it was found that the design values of CWST and TD should be in the range of  $45$  to  $47^{\circ}\text{F}$  ( $7.22$  to  $8.33^{\circ}\text{C}$ ) and  $10$  to  $16^{\circ}\text{F}$  ( $5.56$  to  $8.89^{\circ}\text{C}$ ), respectively.

## 1. บทนำ

การออกแบบระบบของร่างกายน้ำเย็นของระบบปรับอากาศแบบทำความเย็นจากส่วนกลาง โดยทั่วไปแล้ววิศวกรรมจะนิยมออกแบบให้ CWST มีค่า  $45^{\circ}\text{F}$  และ TD มีค่า  $10^{\circ}\text{F}$  แต่จากการศึกษาเบื้องต้นพบว่า ถ้ามีการเพิ่มหรือลดค่า CWST และ TD ให้มีค่าสูงขึ้นหรือต่ำลง ก็จะส่งผลกระทบต่อ LCC ของระบบปรับอากาศ กล่าวคือ ถ้าออกแบบให้ CWST มีค่าต่ำกว่า  $45^{\circ}\text{F}$  ค่าใช้จ่ายเบื้องต้นและค่าใช้จ่ายในการบำรุงรักษาในส่วนของเครื่องส่งลมเย็นจะมีค่าลดต่ำลง แต่ค่าใช้จ่ายเบื้องต้นและค่าใช้จ่ายในการดำเนินงานของเครื่องทำน้ำเย็นจะมีค่าสูงขึ้น และยังส่งผลให้ค่าใช้จ่ายเบื้องต้นในการซ่อมแซมและบำรุงรักษาจนวนมีค่าสูงขึ้นอีกด้วย (ถ้าออกแบบให้ CWST มีค่าสูงกว่า  $45^{\circ}\text{F}$  ผลลัพธ์ที่ได้จะเป็นในทางกลับกัน) ถ้าออกแบบให้ TD มีค่าต่ำกว่า  $10^{\circ}\text{F}$  ค่าใช้จ่ายเบื้องต้นและค่าใช้จ่ายในการบำรุงรักษาในส่วนของเครื่องส่งลมเย็นจะมีค่าลดต่ำลง แต่ค่าใช้จ่ายเบื้องต้นรวมไปถึงค่าใช้จ่ายในการดำเนินงานของระบบกระจายน้ำเย็นจะมีค่าสูงขึ้น (ถ้าออกแบบให้ TD มีค่าสูงกว่า  $10^{\circ}\text{F}$  ผลลัพธ์ที่ได้จะเป็นในทางกลับกัน) ดังนั้นจึงควรศึกษาระบบวงจรด้านน้ำเย็นของระบบปรับอากาศแบบทำความเย็นจากส่วนกลางโดยละเอียด เพื่อหาค่าที่เหมาะสมที่สุดของ CWST และ TD ที่ทำให้ LCC ของระบบวงจรด้านน้ำเย็นมีค่าต่ำที่สุด และนำค่าดังกล่าวมากำหนดเป็นแนวทางใหม่สำหรับวิศวกรผู้ออกแบบต่อไป

## 2. ทฤษฎี

งานวิจัยนี้เป็นการหาราคาค่าที่เหมาะสมของตัวแปรตัดสินใจ CWST และ TD ที่ทำให้ฟังก์ชันวัตถุประสงค์ (Objective Function) ซึ่งแสดงอยู่ในรูปของ LCC ของระบบวงจรด้านน้ำเย็นมีค่าต่ำที่สุด ภายใต้ข้อจำกัดของเงื่อนไขบังคับ (Constraint) ที่กำหนดขึ้น คือ  $40^{\circ}\text{F} \leq \text{CWST} \leq 50^{\circ}\text{F}$  และ  $6^{\circ}\text{F} \leq \text{TD} \leq 16^{\circ}\text{F}$  ดังนั้นอุปกรณ์หลักที่สำคัญที่นำมาพิจารณาในแบบจำลองจึงประกอบไปด้วย เครื่องทำน้ำเย็น เครื่องส่งลมเย็นและระบบการกระจายน้ำเย็น (เครื่องสูบน้ำเย็น ห้องน้ำอุปกรณ์ประกอบห้องน้ำ วาล์ว วาล์วควบคุม และวนวาน)

LCC ของระบบวงจรด้านน้ำเย็นสำหรับระบบปรับอากาศแบบทำความเย็นจากส่วนกลางในงานวิจัยนี้กำหนดให้มีค่าเท่ากับผลรวมของค่าใช้จ่ายตลอดอายุการใช้งานของเครื่องทำน้ำเย็น ( $\text{LCC}_{\text{CH}}$ ) เครื่องส่งลมเย็น ( $\text{LCC}_{\text{AHU}}$ ) และระบบการกระจายน้ำเย็น ( $\text{LCC}_{\text{DIS}}$ ) โดยที่ในแต่ละเทอมจะประกอบไปด้วยผลรวมของค่าใช้จ่ายเบื้องต้น (Initial Cost : IC) ค่าใช้จ่ายในการดำเนินงาน (Operating Cost : OC) และค่าใช้จ่ายในการบำรุงรักษา (Maintenance Cost : MC)

ซึ่งข้อมูลฐานที่ใช้ในการวิเคราะห์ OC และ MC นั้นจะพิจารณาให้ระบบทำงานที่ภาระเต็มพิกัด (Full Load) ตลอดเวลาตั้งแต่วันันท์ถึงวันเสาร์ ในช่วงเวลา 07:00 น.-17:00 น. และใช้อัตราค่าไฟฟ้า (EC) ของการไฟฟ้านครหลวง (บังคับใช้ตั้งแต่เดือนตุลาคม 2543) คิดแบบอัตราตามช่วงเวลาของการใช้งาน (Time of Use Tariff : TOU Tariff) สำหรับกิจกรรมขนาดใหญ่ ขนาดแรงดัน 12 – 24 KV (กำหนดให้อัตราค่าไฟฟ้าคงที่ตลอดอายุการใช้งาน) โดยที่ไม่พิจารณาค่าใช้จ่ายในส่วนของค่าเพาเวอร์เฟคเตอร์และค่าบริการรายเดือน ส่วน

ค่าใช้จ่ายในการบำรุงรักษาในแต่ละปีกำหนดให้มีค่าเป็น 5% ของค่าใช้จ่ายเบื้องต้น และเนื่องจาก OC และ MC เป็นค่าใช้จ่ายที่จะเกิดขึ้นในอนาคต ดังนั้นต้องแปลงให้อยู่ในรูปของค่าเงินปัจจุบัน เสียก่อน โดยทั้งนี้พิจารณาให้เป็นไปตามความสัมพันธ์แบบ Uniform Series Present Worth Factor (USPWF) กล่าวคือ ค่าใช้จ่ายในแต่ละส่วนมีค่าคงที่ในทุกๆ ปีตลอดอายุการใช้งาน (ก) ทั้งหมด 15 ปี (สมมุติให้อุปกรณ์แต่ละชนิดมีอายุเท่ากัน) และกำหนดให้อัตราดอกเบี้ย (r) เท่ากับ 2% ต่อปี

ฟังก์ชันวัตถุประสงค์ของระบบวงจรด้านน้ำเย็นที่แสดงอยู่ในรูปของค่า LCC และเป็นฟังก์ชันของตัวแปรตัดสินใจภายใต้ข้อจำกัดของเงื่อนไขบังคับ สามารถแสดงความสัมพันธ์ได้ดังนี้

$$\text{LCC} = f\{\text{CWST}, \text{TD}\} \quad (1)$$

$$\text{LCC} = \text{LCC}_{\text{CH}} + \text{LCC}_{\text{AHU}} + \text{LCC}_{\text{DIS}} \quad (2)$$

และ

$$\text{LCC}_{\text{CH}} = \text{IC}_{\text{CH}} + \text{OC}_{\text{CH}} + \text{MC}_{\text{CH}} \quad (3)$$

$$\text{LCC}_{\text{AHU}} = \text{IC}_{\text{AHU}} + \text{OC}_{\text{AHU}} + \text{MC}_{\text{AHU}} \quad (3)$$

$$\text{LCC}_{\text{DIS}} = \text{IC}_{\text{DIS}} + \text{OC}_{\text{DIS}} + \text{MC}_{\text{DIS}} \quad (3)$$

ดังนั้นจากข้อกำหนดดังๆ ข้างต้นจึงสามารถสร้างฟังก์ชันวัตถุประสงค์ได้ดังนี้

$$\begin{aligned} \text{LCC} = & \left\{ \sum_{i=1}^j \text{IC}_{\text{CH}} + \left( \sum_{i=1}^j \text{EC}_{\text{CH}} \right) \frac{(1+r)^n - 1}{r(1+r)} + \left( \sum_{i=1}^j \text{IC}_{\text{CH}} \right) \frac{5}{100} \frac{(1+r)^n - 1}{r(1+r)} \right\} \\ & + \left\{ \sum_{k=1}^l \text{IC}_{\text{AHU}} + \left( \sum_{k=1}^l \text{EC}_{\text{AHU}} \right) \frac{(1+r)^n - 1}{r(1+r)} + \left( \sum_{k=1}^l \text{IC}_{\text{AHU}} \right) \frac{5}{100} \frac{(1+r)^n - 1}{r(1+r)} \right\} \\ & + \left\{ \sum_{o=1}^p \text{IC}_{\text{DIS}} + \left( \sum_{q=1}^r \text{EC}_{\text{PUMP}} \right) \frac{(1+r)^n - 1}{r(1+r)} + \left( \sum_{o=1}^p \text{IC}_{\text{DIS}} \right) \frac{5}{100} \frac{(1+r)^n - 1}{r(1+r)} \right\} \quad (4) \end{aligned}$$

โดยที่ค่าใช้จ่ายในการดำเนินงานหรือค่าไฟฟ้าในแต่ละเดือนมีค่าเท่ากัน

$$\text{EC} = \left[ [132.93(\text{NOP}) + 2.695(\text{UNOP}) + 1.1914(\text{UOFP})] + (\text{FT})(\text{UNOP} + \text{UOFP}) \right] \frac{1+\text{VAT}}{100} \quad (5)$$

### 2.1 เครื่องทำน้ำเย็น

เครื่องทำน้ำเย็นเป็นแบบ Water – Cooled Centrifugal Liquid Chiller ขนาด 450 ตัน จำนวน 4 เครื่อง ซึ่งเลือกจากโปรแกรมการเลือกเครื่องทำน้ำเย็นของบริษัทเอกชนแห่งหนึ่ง โดยกำหนดให้ตัวแปรตัดสินใจทั้งสองอยู่ภายใต้ข้อจำกัดของเงื่อนไขบังคับ และ CDWST มีค่า  $90^{\circ}\text{F}$  ส่วน CDWRT มีค่า  $100^{\circ}\text{F}$  ดังนั้นจากข้อมูลที่ได้จากการใช้โปรแกรมจะพบว่า  $\text{IC}_{\text{CH}}$  (ตุลาคม 2545),  $\text{OC}_{\text{CH}}$  และ  $\text{MC}_{\text{CH}}$  รวมไปถึงยอดของเครื่องทำน้ำเย็น ( $\text{H}_{\text{CH}}$ ) เป็นฟังก์ชันของตัวแปรตัดสินใจ

### 2.2 เครื่องส่งลมเย็น

เครื่องส่งลมเย็นเป็นแบบ Floor - Type Air Handling Unit มีจำนวนทั้งสิ้น 26 เครื่อง แบ่งเป็นขนาด 66 ตัน จำนวน 20 เครื่องและขนาด 80 ตัน จำนวน 6 เครื่อง ซึ่งเลือกจากโปรแกรมการเลือกเครื่องส่งลมเย็นของบริษัทเอกชนแห่งหนึ่ง โดยกำหนดให้ตัวแปร

ตัดสินใจทั้งสองอย่างในขอนเขดของเงื่อนไขบังคับ ส่วนอุณหภูมิ อากาศก่อนเข้าเครื่องมีค่า  $80^{\circ}\text{F}$  Dry Bulb /  $67^{\circ}\text{F}$  Wet Bulb นอกจากนี้ยังกำหนดให้ Face Velocity มีค่า  $2.73 \text{ m/s}$  ( $535.17 \text{ FPM}$ ) และอัตราการไหล มีค่าเท่ากับ  $22,740 \text{ CFM}$  สำหรับเครื่องขนาด  $66$  ตัน ส่วนขนาด  $80$  ตันนั้น กำหนดให้อากาศมี Face Velocity เท่ากับ  $2.52 \text{ m/s}$  ( $497.71 \text{ FPM}$ ) ส่วนอัตราการไหลมีค่า  $24,000 \text{ CFM}$  ตามลำดับ ดังนั้นจากข้อมูลที่ได้จากการใช้โปรแกรมจะพบว่า  $\text{IC}_{\text{AHU}}$  (ตุลาคม2545),  $\text{OC}_{\text{AHU}}$  และ  $\text{MC}_{\text{AHU}}$  รวมไปถึงยอดของเครื่องส่งลมเย็น ( $H_{\text{AHU}}$ ) เป็นพังก์ชั่นของตัวแปรตัดสินใจ

### 2.3 ระบบการกระจายน้ำเย็น

ระบบการกระจายน้ำเย็นเป็นแบบท่อกลับตรง โดยมีเครื่องสูบน้ำเย็นแบบ Horizontal Split Case Centrifugal Pump จำนวน  $4$  เครื่อง ซึ่งเลือกจากโปรแกรมการเลือกเครื่องสูบน้ำของบริษัทเอกชนแห่งหนึ่ง โดยกำหนดให้ยอดของเครื่องสูบน้ำมีค่าคงที่เท่ากับ  $140 \text{ FT.of WG}$ . แต่ค่า GPM เป็นไปตามของ TD โดยอาศัยความสัมพันธ์ดังนี้

$$\text{GPM} = \left( \frac{24}{\text{TD}} \right) (\text{Ton}) \quad (6)$$

ดังนั้นจากข้อมูลที่ได้จากการใช้โปรแกรมจะพบว่า  $\text{IC}_{\text{PUMP}}$  (ตุลาคม2545),  $\text{OC}_{\text{PUMP}}$  และ  $\text{MC}_{\text{PUMP}}$  เป็นพังก์ชั่นของ TD

ท่อน้ำเย็นเป็นท่อเหล็กกล้าคาร์บอนต่อ (Carbon Steel : ASTM A53 Schedule 40 Seamless) ขนาดเส้นผ่านศูนย์กลางของท่อน้ำ ( $D$ ) พิจารณาจากปริมาณของค่า GPM ตามหลักเกณฑ์ที่กำหนดไว้ใน ASHRAE Fundamental 1997 ดังนั้นมีพิจารณาสมการที่  $1$  ร่วมกับหลักเกณฑ์การกำหนดขนาดของท่อจะพบว่า  $D$  เป็นพังก์ชั่นของ TD

คำใช้จ่ายเบื้องต้นของท่อน้ำ ( $\text{IC}_{\text{PIPE}}$  : กรกฎาคม2545) จะพิจารณาต่อความยาว  $1$  เมตร โดยสร้างให้เป็นพังก์ชั่นของ  $D$  (inch) ด้วยวิธีกำลังสองต่อที่สุด (Method of Least Square) ดังนี้

$$D = \frac{3}{4}'' - 16''$$

$$\text{IC}_{\text{PIPE}/m} = 0.8109(D)^3 + 2.209(D)^2 + 181.2(D) - 44.756 \quad (7)$$

$$D = 18'' - 24''$$

$$\text{IC}_{\text{PIPE}/m} = 71.542(D)^2 - 1120.6(D) + 14775 \quad (8)$$

และค่าใช้จ่ายเบื้องต้นของอุปกรณ์ประกอบท่อและวาล์ว ( $\text{IC}_{\text{FITTING}&\text{VALVE}}$  : กรกฎาคม2545) แต่ละชนิดสร้างให้เป็นพังก์ชั่นของ  $D$  (inch) โดยอาศัยวิธีกำลังสองต่อที่สุดเช่นเดียวกับท่อน้ำเย็น ดังนี้

FLEXIBLE JOINT ( TWIN ) :  $D = 1.5'' - 12''$

$$\text{IC}_{\text{FLEX}} = -7.9163(D)^3 + 188.9(D)^2 - 435.77(D) + 1130.4 \quad (9)$$

$90^{\circ}$  STD ( ASTM A234 SEAMLESS ) :  $D = \frac{3}{4}'' - 16''$

$$\text{IC}_{90\text{STD}} = 2.0905(D)^3 + 2.7884(D)^2 + 28.782(D) + 11.042 \quad (10)$$

NO REDUCTION TEE ( ASTM A234 SEAMLESS ) :  $D = \frac{3}{4}'' - 14''$

$$\text{IC}_{\text{TEE}} = 5.3565(D)^3 - 31.557(D)^2 + 281.19(D) - 99.108 \quad (11)$$

GLOBE VALVE ( DUCTILE IRON VALVE ) :  $D = \frac{3}{4}'' - 3''$

$$\text{IC}_{\text{GLOBE}} = -414.42(D)^3 + 3051.3(D)^2 - 4677.2(D) + 2545.7 \quad (12)$$

GATE VALVE ( DUCTILE IRON VALVE ) :

$$D = \frac{3}{4}'' - 2''$$

$$\text{IC}_{\text{GATE}} = -1402.9(D)^3 + 6024(D)^2 - 6502.1(D) + 2744.6 \quad (13)$$

$$D = 2 \frac{1}{2}'' - 12''$$

$$\text{IC}_{\text{GATE}} = 2.4123(D)^3 + 434.43(D)^2 + 713.14(D) + 3778.6 \quad (14)$$

BUTTERFLY VALVE ( DUCTILE IRON VALVE ) :  $D = 4'' - 24''$

$$\text{IC}_{\text{BUT}} = 1.7802(D)^3 + 179.09(D)^2 - 973.72(D) + 5321 \quad (15)$$

LIFT CHECK VALVE ( DUCTILE IRON VALVE ) :  $D = 1 \frac{1}{2}'' - 12''$

$$\text{IC}_{\text{CHECK}} = 74.569(D)^3 - 801.12(D)^2 + 6850.2(D) - 3349.8 \quad (16)$$

Y – TYPE STRAINER ( DUCTILE IRON VALVE ) :

$$D = \frac{3}{4}'' - 2''$$

$$\text{IC}_{\text{STRAIN}} = -1473.4(D)^4 + 11059(D)^3 - 27590(D)^2 + 28603(D) - 9774.1 \quad (17)$$

$$D = 4'' - 12''$$

$$\text{IC}_{\text{STRAIN}} = -150.33(D)^4 + 4682.2(D)^3 - 51047(D)^2 + 237172(D) - 384066 \quad (18)$$

เขตสูญเสียเนื่องจากการไหลของน้ำภายในท่อ ( $H_{\text{PIPE}}$  : Ft. of WG.) สามารถพิจารณาได้จากการดัดแปลงความสัมพันธ์ของ Hazen-Williams Equation ดังนี้

$$H_{\text{PIPE}} = 34.3556(L_{\text{PIPE}}) \left[ \frac{(GPM)}{(C)(D)} \right]^{1.852} \left( \frac{1}{D} \right)^{1.167} \quad (19)$$

โดยที่  $L_{\text{PIPE}}$  คือ ค่าความยาวของท่อน้ำหน่วยเป็นเมตร และ  $C$  มีค่าเท่ากับ  $140$  (เป็นค่าคงที่ที่กำหนดขึ้นสำหรับท่อใหม่)

เขตสูญเสียเนื่องจากการไหลของน้ำภายในอุปกรณ์ประกอบท่อและวาล์ว ( $H_{\text{FITTING}&\text{VALVE}}$  : Ft. of WG.) ก็พิจารณาซึ่งเดียวกับ  $H_{\text{PIPE}}$  ดังนี้

$$H_{\text{FITTING}&\text{VALVE}} = 10.47157(L_{\text{FITTING \& VALVE}}) \left[ \frac{(GPM)}{(C)(D)} \right]^{1.852} \left( \frac{1}{D} \right)^{1.167} \quad (20)$$

โดยที่  $L_{\text{FITTING}&\text{VALVE}}$  คือ ค่าความยาวสมมูล ( Equivalent Length ) ของอุปกรณ์ประกอบท่อและวาล์วชนิดต่างๆ มีหน่วยเป็นฟุต

เขตสูญเสียในวาล์วควบคุม  $2$  ทาง ( $H_{\text{CV}}$  : Ft. of WG.) สามารถพิจารณาได้จากการความสัมพันธ์ ดังนี้

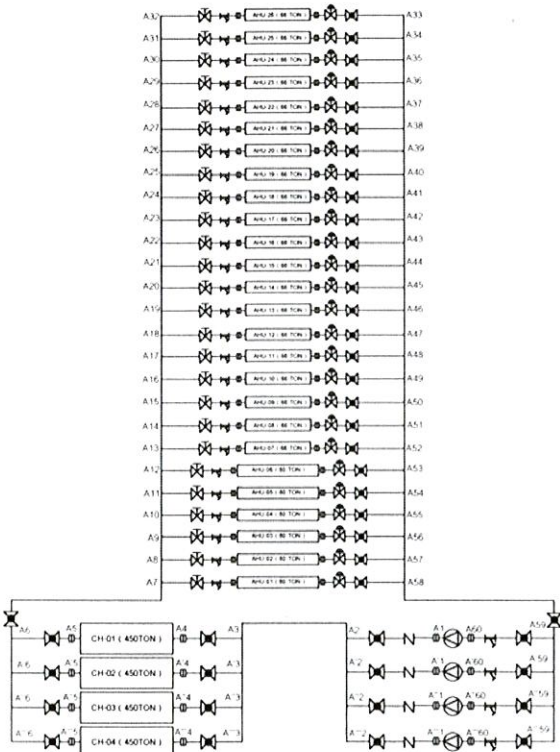
$$H_{CV} = 2.3068 \frac{GPM^2}{C_V} \quad (21)$$

โดยที่  $C_V$  คือ สัมประสิทธิ์การไหลของวาล์วควบคุม ซึ่งวาล์วทุกตัวที่นำมาใช้ในแบบจำลองมีค่า Valve Authority อยู่ที่ 25-50 %

ส่วนความหนาของฉนวนนันเลือกจากโปรแกรมการเลือกฉนวนของบริษัทเอกชนแห่งหนึ่ง โดยกำหนดให้อุณหภูมิทำงานของน้ำเย็น มีค่า  $40-60^{\circ}\text{F}$  สัมประสิทธิ์การนำความร้อนของฉนวนมีค่า  $0.2510 \text{ BTU/in ft}^2 \cdot \text{hr} \cdot {}^{\circ}\text{F}$  สภาพอากาศโดยรอบ มีอุณหภูมิ  $86^{\circ}\text{F}$  ความชื้นสัมพัทธ์ 80 % RH สัมประสิทธิ์การพาความร้อนของอากาศมีค่า  $1.5 \text{ BTU/ft}^2 \cdot \text{hr} \cdot {}^{\circ}\text{F}$  (อากาศถ่ายเทปานกลาง) ดังนั้นจากข้อมูลที่ได้มาจากการโปรแกรมจะพบว่า  $IC_{INSULATION}$  (กรกฎาคม 2545), และ  $MC_{AHU}$  เป็นพังก์ชั่นของตัวแปรตัดสินใจ

### 3. แบบจำลองระบบด้านน้ำเย็น

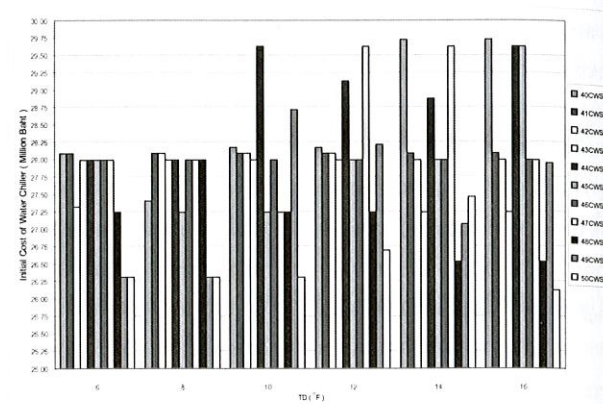
วงจรด้านน้ำเย็นในงานวิจัยนี้จำลองมาจากระบบของด้านน้ำเย็นของอาคารสำนักงานแห่งหนึ่งในกรุงเทพมหานคร ซึ่งประกอบด้วยเครื่องทำน้ำเย็น ขนาด 450 TON จำนวน 4 เครื่อง เครื่องส่งลมเย็นขนาด 66 TON จำนวน 20 เครื่อง ขนาด 80 TON จำนวน 6 เครื่อง และเครื่องสูบน้ำเย็น จำนวน 4 เครื่อง ดังแสดงในรูปที่ 1



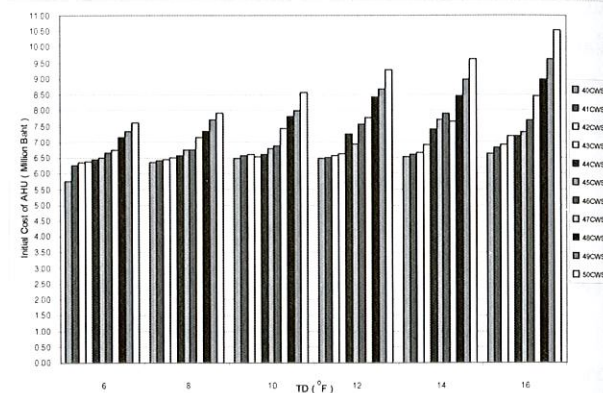
รูปที่ 1 แสดงแบบจำลองระบบของด้านน้ำเย็นของอาคารสำนักงาน

### 4. ผลการคำนวณ

ผลของการคำนวณเพื่อหาค่าใช้จ่ายในส่วนต่างๆ ของอุปกรณ์แต่ละประเภทที่เกิดขึ้น เมื่อกำหนดให้สภาวะการออกแบบของตัวแปรตัดสินใจอยู่ในขอบเขตของเงื่อนไขบังคับนั้น สามารถพิจารณาได้จากกราฟรูปที่ 2 – 13 ดังนี้



รูปที่ 2 แสดง  $IC_{CH}$  เมื่อ  $40^{\circ}\text{F} \leq \text{CWST} \leq 50^{\circ}\text{F}$  และ  $6^{\circ}\text{F} \leq \text{TD} \leq 16^{\circ}\text{F}$



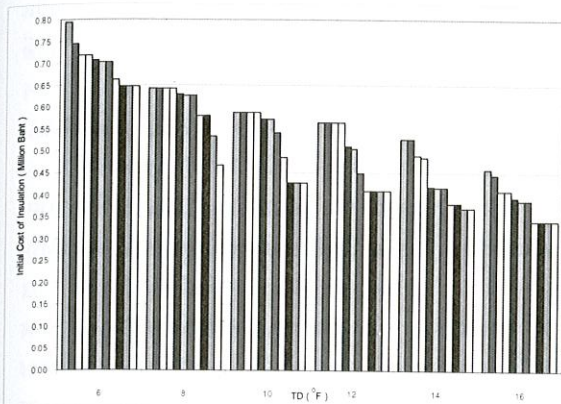
รูปที่ 3 แสดง  $IC_{AHU}$  เมื่อ  $40^{\circ}\text{F} \leq \text{CWST} \leq 50^{\circ}\text{F}$  และ  $6^{\circ}\text{F} \leq \text{TD} \leq 16^{\circ}\text{F}$



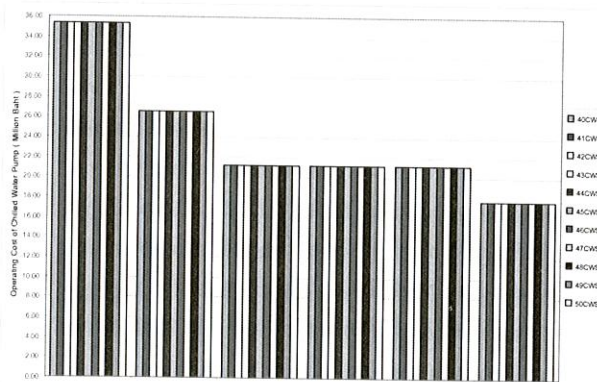
รูปที่ 4 แสดง  $IC_{PUMP}$  เมื่อ  $40^{\circ}\text{F} \leq \text{CWST} \leq 50^{\circ}\text{F}$  และ  $6^{\circ}\text{F} \leq \text{TD} \leq 16^{\circ}\text{F}$



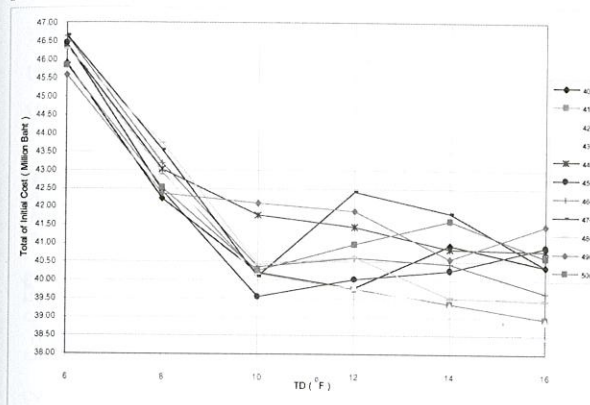
รูปที่ 5 แสดง  $IC_{PIPE\&FITTING\&VALVE}$  เมื่อ  $40^{\circ}\text{F} \leq \text{CWST} \leq 50^{\circ}\text{F}$  และ  $6^{\circ}\text{F} \leq \text{TD} \leq 16^{\circ}\text{F}$



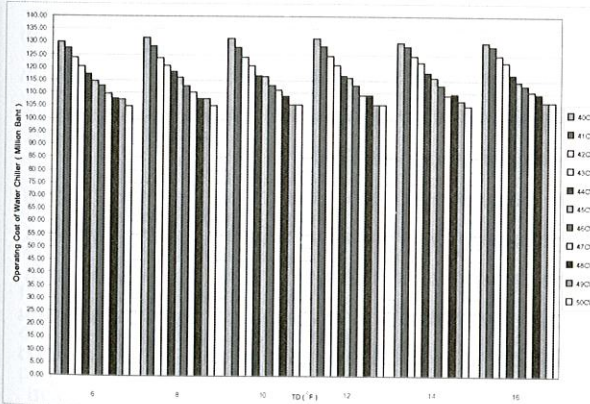
รูปที่ 6 แสดง IC<sub>INSULATION</sub> เมื่อ  $40^{\circ}\text{F} \leq \text{CWST} \leq 50^{\circ}\text{F}$  และ  $6^{\circ}\text{F} \leq \text{TD} \leq 16^{\circ}\text{F}$



รูปที่ 10 แสดง OC<sub>PUMP</sub> เมื่อ  $40^{\circ}\text{F} \leq \text{CWST} \leq 50^{\circ}\text{F}$  และ  $6^{\circ}\text{F} \leq \text{TD} \leq 16^{\circ}\text{F}$



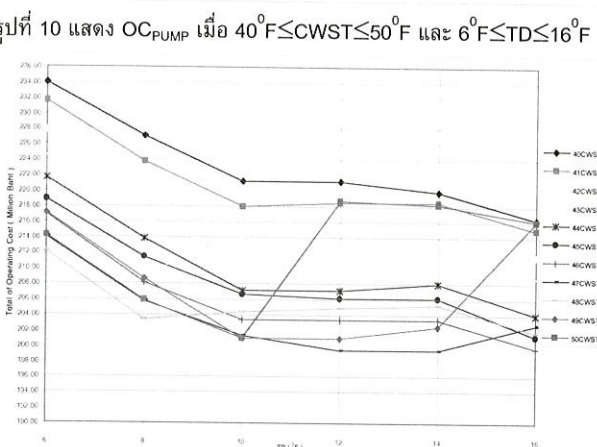
รูปที่ 7 แสดง IC<sub>TOTAL</sub> เมื่อ  $40^{\circ}\text{F} \leq \text{CWST} \leq 50^{\circ}\text{F}$  และ  $6^{\circ}\text{F} \leq \text{TD} \leq 16^{\circ}\text{F}$



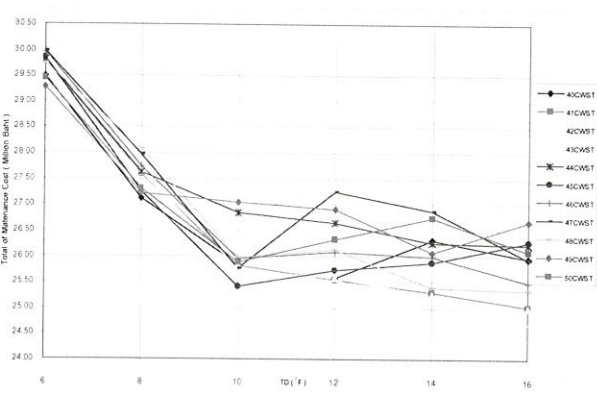
รูปที่ 8 แสดง OC<sub>CH</sub> เมื่อ  $40^{\circ}\text{F} \leq \text{CWST} \leq 50^{\circ}\text{F}$  และ  $6^{\circ}\text{F} \leq \text{TD} \leq 16^{\circ}\text{F}$



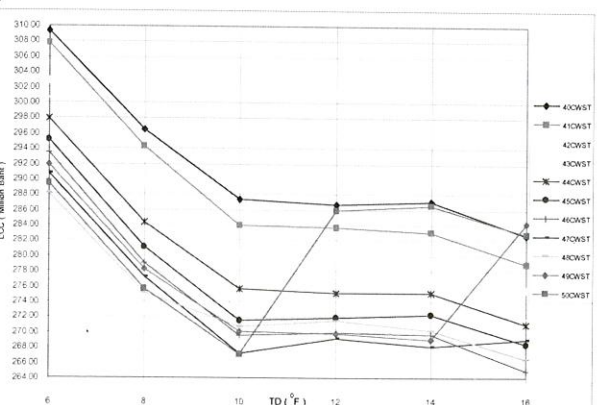
รูปที่ 9 แสดง OC<sub>AHU</sub> เมื่อ  $40^{\circ}\text{F} \leq \text{CWST} \leq 50^{\circ}\text{F}$  และ  $6^{\circ}\text{F} \leq \text{TD} \leq 16^{\circ}\text{F}$



รูปที่ 11 แสดง OC<sub>TOTAL</sub> เมื่อ  $40^{\circ}\text{F} \leq \text{CWST} \leq 50^{\circ}\text{F}$  และ  $6^{\circ}\text{F} \leq \text{TD} \leq 16^{\circ}\text{F}$



รูปที่ 12 แสดง MC<sub>TOTAL</sub> เมื่อ  $40^{\circ}\text{F} \leq \text{CWST} \leq 50^{\circ}\text{F}$  และ  $6^{\circ}\text{F} \leq \text{TD} \leq 16^{\circ}\text{F}$



รูปที่ 13 แสดง LCC เมื่อ  $40^{\circ}\text{F} \leq \text{CWST} \leq 50^{\circ}\text{F}$  และ  $6^{\circ}\text{F} \leq \text{TD} \leq 16^{\circ}\text{F}$

## 5. การเปรียบเทียบและวิเคราะห์ผล

จากการเปรียบเทียบผลกระทบของค่า CWST และ TD ที่มีต่อค่าใช้จ่ายในส่วนต่างๆ ในรูปที่ 2-13 สามารถแสดงให้เห็นได้อย่างชัดเจนดังนี้ คือ

ถ้าออกแบบให้ CWST และ TD มีค่าลดต่ำลง จะส LCC มีแนวโน้มเพิ่มสูงขึ้นอย่างมาก แต่ถ้าออกแบบให้ CV มีค่าเพิ่มสูงขึ้นมากๆ ก็จะส่งผลทำให้ LCC มีแนวโน เห็นเดียวกันกับกรณีแรกแต่มีค่าตัวอย่างกว่าในกรณีแรกมาก มีค่าต่ำที่สุด เมื่อ CWST เท่ากับ  $46^{\circ}\text{F}$  และ TD เท่ากับ  $16^{\circ}\text{F}$

และแนวโน้มของค่าใช้จ่ายในแต่ละส่วน เมื่อ CWST และ TD เป็นไปตามที่วางแผนไว้แล้ว ดังนี้ คือ

ถ้ากำหนดให้ CWST มีค่าลดต่ำลงจะส่งผลทำให้ค่าใช้จ่ายเบื้องต้น (ค่าใช้จ่ายในการซ่อมบำรุง) ของเครื่องส่งลมเย็นมีแนวโน้มลดต่ำลงตามไปด้วย แต่ค่าใช้จ่ายเบื้องต้น (ค่าใช้จ่ายในการซ่อมบำรุง) ของระบบพร้อมด้วยค่าใช้จ่ายในการดำเนินงานของเครื่องทำน้ำเย็นกลับมีแนวโน้มเพิ่มสูงขึ้น

แต่ถ้ากำหนดให้ TD มีค่าลดต่ำลงจะส่งผลทำให้ค่าใช้จ่ายเบื้องต้น (ค่าใช้จ่ายในการซ่อมบำรุง) ของเครื่องส่งลมเย็นมีแนวโน้มลดต่ำลงตามไปด้วย แต่ค่าใช้จ่ายเบื้องต้น (ค่าใช้จ่ายในการซ่อมบำรุง) ของระบบการกระจายน้ำเย็น (เครื่องสูบน้ำเย็น ท่อน้ำเย็น อุปกรณ์ประกอบระบบห้องและถนน) พร้อมด้วยค่าใช้จ่ายในการดำเนินงานของเครื่องสูบน้ำเย็นกลับมีแนวโน้มเพิ่มสูงขึ้น

## 6. บทสรุป

ผลจากการวิจัยในครั้งนี้สามารถวิเคราะห์หาค่าที่เหมาะสมของ CWST และ TD รวมทั้งยังสามารถชี้ให้เห็นถึงผลกระทบของค่าตัวแปรตัดสินใจข้างต้นว่ามีผลกระทบอย่างไรต่อค่าใช้จ่ายในส่วนต่างๆ ของแบบจำลองระบบวงจรด้านน้ำเย็นของระบบปรับอากาศแบบทำความเย็นจากส่วนกลางได้อย่างชัดเจนดังนี้คือ

6.1 ค่าที่เหมาะสมที่สุดของ CWST และ TD ที่ทำให้ LCC ของแบบจำลองระบบวงจรด้านน้ำเย็นในรูปที่ 1 มีค่าต่ำที่สุด คือ CWST เท่ากับ  $46^{\circ}\text{F}$  และ TD เท่ากับ  $16^{\circ}\text{F}$

6.2 ผลกระทบของค่า CWST ต่อแนวโน้มโดยทั่วไปของ LCC แบ่งได้เป็น 2 ช่วง คือ ช่วงที่ CWST มีค่าระหว่าง  $40-47^{\circ}\text{F}$  แนวโน้มของ LCC จะมีค่าลดลงอย่างต่อเนื่อง แต่เมื่อ CWST มีค่าระหว่าง  $48-50^{\circ}\text{F}$  แนวโน้มดังกล่าวกลับมีค่าเพิ่มสูงขึ้น ส่วนผลกระทบของค่า TD ต่อแนวโน้มโดยทั่วไปของ LCC แบ่งได้เป็น 3 ช่วง คือ ในช่วงที่ TD มีค่าระหว่าง  $6-10^{\circ}\text{F}$  แนวโน้มของ LCC จะมีค่าลดลงอย่างมาก แต่เมื่อ TD มีค่าระหว่าง  $10-14^{\circ}\text{F}$  แนวโน้มของ LCC จะมีค่าใกล้เคียงกัน และแนวโน้มดังกล่าวจะลดลงอีกรั้งแต่น้อยกว่าในช่วงแรก เมื่อ TD มีค่าระหว่าง  $14-16^{\circ}\text{F}$  ดังนั้นค่าการออกแบบโดยทั่วไปสำหรับ CWST และ TD ควรมีค่าอยู่ในช่วงระหว่าง  $45-47^{\circ}\text{F}$  และ  $10-16^{\circ}\text{F}$  ตามลำดับ

6.3 ค่า TD มีผลกระทบโดยตรงต่อ IC, OC และ MC ของระบบการกระจายน้ำเย็นเป็นอย่างมาก กล่าวคือ เมื่อ TD มีค่าสูงขึ้น ค่าใช้จ่ายในส่วนนี้จะมีแนวโน้มลดต่ำลงอย่างเห็นได้ชัดเจน ดังนั้นถ้า

ระบบวงจรด้านน้ำเย็นเป็นระบบที่ออกแบบมาเพื่อรับกับลักษณะของแนวโน้มและอุปกรณ์ประกอบท่อและวาล์วจำนวนมาก การกำหนดให้ TD มีค่าสูงๆ จะมีผลทำให้ค่าใช้จ่ายในส่วนนี้ลดต่ำลงเป็นอย่างมาก

6.4 ค่า CWST มีผลกระทบโดยตรงต่อ IC<sub>AHU</sub> และ MC<sub>AHU</sub> รวมถึง OC<sub>CH</sub> เป็นอย่างมาก กล่าวคือ เมื่อ CWST มีค่าลดลง IC<sub>AHU</sub> และ MC<sub>AHU</sub> จะมีแนวโน้มลดลงตามไปด้วย ส่วน OC<sub>CH</sub> จะมีแนวโน้มเพิ่มสูงขึ้นและมีค่าสูงกว่าส่วนค่าใช้จ่ายในส่วนของเครื่องส่งลมเย็นเป็นอย่างมาก

6.5 ค่า OC<sub>TOTAL</sub> มีค่าสูงมากๆ เมื่อเทียบกับ IC<sub>TOTAL</sub> และ MC<sub>TOTAL</sub> ดังนั้น หากเลือกเครื่องทำน้ำเย็น เครื่องส่งลมเย็น และเครื่องสูบน้ำเย็นมีขนาดที่ใหญ่ (Over Size) เกินไปไม่เหมาะสมกับสภาพการทำงานที่แท้จริงจะมีผลทำให้ต้องเสียเปลืองค่าใช้จ่ายในการดำเนินงานของระบบเป็นอย่างมาก

## 7. การอภิปราย

สำหรับแนวทางในการวิจัยเพื่อพัฒนาต่อไปในอนาคตเพื่อให้ผลลัพธ์ที่ได้นั้นมีความน่าเชื่อถือ และยกระดับความสามารถในการออกแบบที่เหมาะสมให้มีประสิทธิภาพมากยิ่งขึ้น จำเป็นอย่างยิ่งที่จะต้องมีการพิจารณาถึงสิ่งต่อไปนี้

7.1 ผลกระทบของการเปลี่ยนแปลงภาระ (Load) ของระบบ ทั้งนี้เนื่องจากในสภาพการทำงานที่แท้จริงของระบบปรับอากาศจะทำงานที่ Part Load (ไม่ได้ทำงานที่สภาวะ Full Load อุ่นตลอดเวลา)

7.2 ระบบปรับอากาศแบบทำความเย็นจากส่วนกลางนั้นประกอบไปด้วยระบบพื้นฐาน 4 ระบบ ได้แก่ ระบบวงจรด้านอากาศ ระบบวงจรด้านน้ำเย็น ระบบวงจรทำความเย็นและระบบวงจรด้านระบายน้ำร้อน ซึ่งแต่ละระบบจะทำงานสัมพันธ์กันอย่างต่อเนื่อง ดังนั้นจำเป็นอย่างยิ่งที่จะต้องทำการวิเคราะห์หาสภาพการทำงานที่เหมาะสมของแต่ละระบบทั้งหมดข้างต้นอย่างละเอียดที่สุด

7.3 ข้อมูลด้านทางวิศวกรรมและทางเศรษฐศาสตร์ ไม่ว่าจะเป็นข้อมูลของอุณหภูมิอากาศ ความชื้นสัมพันธ์ อัตราค่าไฟฟ้าแบบ TOU ช่วงเวลาทำงาน ราคาเครื่องทำน้ำเย็น ราคาเครื่องส่งลมเย็น ราคาระบบการกระจายน้ำเย็น อัตราดอกเบี้ย อัตราการແกลเปลี่ยนเงินเดรต่างประเทศ ค่าใช้จ่ายในการซ่อมบำรุง เป็นต้น มีการเปลี่ยนแปลงอยู่ตลอดเวลา ดังนั้นจึงต้องมีการ Update ให้ทันสมัยด้วย

7.4 การพิจารณากำหนดให้อายุการใช้งานของอุปกรณ์แต่ละชนิดในระบบปรับอากาศมีอายุการใช้งานเท่ากัน การกำหนดให้อัตราค่าไฟฟ้าในแต่ละเดือนมีค่าเท่ากัน การกำหนดให้ MC มีค่าเป็น 5% ของ IC และมีค่าเท่ากันทุกเดือน รวมถึงการไม่พิจารณาค่าใช้จ่ายในการติดตั้งระบบ ค่าแรงงาน ค่าเสื่อมของอุปกรณ์ และค่าอุปกรณ์ประกอบอื่นๆ ก็อาจมีผลทำให้เกิดความคลาดเคลื่อนในการวิเคราะห์ ทั้งนี้เนื่องจากค่าใช้จ่ายต่างๆ ข้างต้นนี้มีผลกระทบต่อ LCC และค่าใช้จ่ายเหล่านี้มีค่าแพงผันมาก เป็นเรื่องยากในการประมาณค่าที่ถูกต้องอย่างแท้จริง

## 8. รายการสัญลักษณ์

CDWST = อุณหภูมิน้ำหล่อเย็นจ่าย ( $^{\circ}\text{F}$ )

CDWRT = อุณหภูมิน้ำหล่อเย็นกลับ ( $^{\circ}\text{F}$ )  
 CWST= อุณหภูมน้ำเย็นจ่าย ( $^{\circ}\text{F}$ )  
 EC = อัตราค่าไฟฟ้ารายเดือน (Baht)  
 FT = อัตราค่าไฟฟ้าผันแปร (Baht/Unit)  
 kW = ค่ากำลังไฟฟ้าของอุปกรณ์ (kW)  
 H = เอ็ดดูญเสียง (FT. of WG.)  
 IC = ค่าใช้จ่ายเบื้องต้น (Baht)  
 LCC = ค่าใช้จ่ายตลอดอายุการใช้งาน (Baht)  
 MC = ค่าใช้จ่ายในการบำรุงรักษา (Baht)  
 n = อายุโครงการ (Year)  
 NOP = ค่าความต้องการพลังไฟฟ้าช่วง On Peak (kW)  
 r = อัตราดอกเบี้ย (%)  
 TD = อุณหภูมิแตกต่าง ( $^{\circ}\text{F}$ )  
 UNOP= จำนวนหน่วยของพลังงานไฟฟ้าช่วง On Peak (kW-hr)  
 UOFP= จำนวนหน่วยของพลังงานไฟฟ้าช่วง Off Peak (kW-hr)  
 VAT = ภาษีมูลค่าเพิ่ม

#### ตัวห้อวย

AHU = เครื่องส่งลมเย็น  
 BUT = วาล์วปีกผึ้ง  
 CH = เครื่องทำน้ำเย็น  
 CHECK = วาล์วกันกลับ  
 CV = วาล์วควบคุม  
 DIS = ระบบการกระจายน้ำเย็น  
 FITTING = อุปกรณ์ประกอบระบบท่อ  
 FLEX = ข้อต่ออ่อน  
 GLOBE = โกล์บวาล์ว  
 GATE = วาล์วประตูน้ำ  
 i = ลำดับเครื่องทำน้ำเย็นตัวที่ i  
 j = ลำดับเครื่องทำน้ำเย็นตัวที่ j  
 k = ลำดับเครื่องส่งลมเย็นตัวที่ k  
 l = ลำดับเครื่องส่งลมเย็นตัวที่ l  
 o = ลำดับเครื่องสูบน้ำเย็นตัวที่ o  
 p = ลำดับเครื่องสูบน้ำเย็นตัวที่ p  
 PIPE = ท่อน้ำเย็น  
 PUMP = เครื่องสูบน้ำเย็น  
 VALVE = วาล์ว  
 STRAIN = สเตรนเนอร์  
 TEE = ข้อต่อตัวที  
 90ST = ข้องอ 90  $^{\circ}$  มาตรฐาน

#### เอกสารอ้างอิง

- [1] ศิษร์ภัณฑ์ แคนลา. อุณหภูมน้ำเย็นจ่ายและแตกต่างที่เหมาะสม  
ของระบบปรับอากาศ. วิทยานิพนธ์ปริญญามหาบัณฑิต ภาควิชา  
วิศวกรรมเครื่องกล บัณฑิตวิทยาลัย จุฬาลงกรณ์มหาวิทยาลัย  
.2545.

- [2] สุรพล พฤษพานิช. การปรับอากาศหลักการและระบบ.  
กรุงเทพมหานคร : ฟิลิกส์เซ็นเตอร์, 2529.
- [3] American Society of Heating, Refrigerating and Air-Conditioning Engineers. ASHRAE Handbook Fundamentals. Atlanta : American Society of Heating, Refrigerating and Air-Conditioning Engineers, 1997
- [4] American Society of Heating, Refrigerating and Air-Conditioning Engineers. ASHRAE Systems and Equipment Handbook. Atlanta : American Society of Heating, Refrigerating and Air-Conditioning Engineers, 1996
- [5] Carrier. Handbook of Air-Conditioning System Design. New York : McGraw-Hill, 1965.
- [6] Donald, P.F. Achieving High Chilled-Water Delta  $T_s$ . ASHRAE Journal (November 1990) : 24-30.
- [7] Leah, R.L.; Pederson, C.O., and Liebman, J.S. Optimum Using Quadratic Search - Case Study of a Chilled Water System. ASHRAE Transaction 1987 : 2109-2122
- [8] Stoecker, W.F. Design of thermal system. 3<sup>rd</sup> ed. Malaysia : McGraw – Hill Book, 1989.
- [9] Wayne, Kirsner. Design for 42  $^{\circ}\text{F}$  Chilled Water Supply Temperature : Does It Save Energy?. ASHRAE Journal (January 1988) : 63-69

